

висящему от тока и начальной массы (L' — погонная индуктивность электродов). При наличии сопротивления среды $v_{1im} < v_a$ и равно [4]

$$v_{1im} = \frac{2v_n}{1 + \sqrt{1 + \left(\frac{2v_a}{v_s}\right)^2}} = v_s \left(\sqrt{1 + \left(\frac{v_s}{2v_a}\right)^2} - \frac{v_s}{2v_a} \right), \quad v_s = i \sqrt{\frac{L'}{c_x A}}, \quad (4)$$

где v_s — предел скоростей, налагаемых сопротивлением среды плотностью ρ в отсутствие аблляции (c_x и A — коэффициент сопротивления и площадь сечения канала). Из [4] следует, что значение α определяет численную оценку предельно достижимой скорости.

Суммируем полученные результаты. При аблляции зависимость изменения ускоряемой массы имеет вид $dm/dt = ai^2$, где параметр аблляции a убывает с ростом тока и слабо зависит от массы плазмы. При токах 100—500 кА значение a находится в диапазоне $1.5 - 0.3 \times 10^{-11}$ кг/А²·с и при $i \geq 300$ кА может быть принято равным 4×10^{-12} кг/А²·с. Для зависимости $dm/dt = ki$ величина $k = ai$, определяющая изменение массы плазменного поршня, составляет около 2.0 мг/Кл. Полное тепловое разрушение электродов характеризуется коэффициентом зазории порядка 100—200 мг/Кл. При $t \gg t(0)$ скорость движения ограничена пределом, явно не зависящим от массы, а при отсутствии сопротивления среды также и от тока.

Литература

- [1] Хижняк Н. А., Сафонов Б. Г., Верещагин В. Л. // ЖТФ. 1968. Т. 38. Вып. 1. С. 40—47.
- [2] Сафонов Б. И. Автореф. канд. дис. М., 1987. 16 с.
- [3] Кондратенко М. М., Лебедев Е. Ф., Осташев В. Е. и др. // ТВТ. 1988. Т. 26. № 1. С. 159—164.
- [4] Дьяков Б. Б., Резников Б. И. // ЖТФ. 1988. Т. 58. Вып. 1. С. 136—143.
- [5] Дьяков Б. Б., Резников Б. И. // ТВТ. 1987. Т. 25. № 1. С. 142—150.

Физико-технический институт
им. А. Ф. Иоффе АН СССР
Ленинград

Поступило в Редакцию
19 мая 1988 г.

07: 12

Журнал технической физики, т. 59, в. 6, 1989

ПОДАВЛЕНИЕ ДИФФУЗИОННОЙ ТЕРМОДЕСТРУКЦИИ ГОЛОГРАММ НА РЕОКСАНЕ

А. В. Вениаминов, Н. С. Шелехов, А. О. Ребезов, Е. И. Акимова,
А. П. Попов, В. Б. Кабанов

Реоксан — объемная фазовая регистрирующая среда, представляющая собой раствор замещенного антрацена и красителя-сенсибилизатора в твердом прозрачном полимере, обычно в полиметилметакрилате (ПММА). Запись голограмм на этом материале обусловлена изменением показателя преломления при сенсибилизированном фотоокислении антрацена, спектральная область чувствительности среды охватывает весь видимый диапазон [1, 2].

Использование реоксана для создания голографических оптических элементов [3] и систем оптической памяти [4] предъявляет жесткие требования к стабильности зарегистрированных голограмм, в первую очередь к их дифракционной эффективности. Ее изменение после записи голограммы может происходить в результате различных по своей природе процессов: 1) темновой химической трансформации молекул антрацена и его фотооксида с образованием продуктов, отличающихся от исходных спектрами поглощения и, следовательно, мольной рефракцией; 2) диффузионного перемешивания молекул, находящихся в узлах и цучностях зарегистрированной интерференционной картины, которое приводит к уменьшению амплитуды модуляции показателя преломления (n_1); 3) неоднородной деформации материала под влиянием находящегося в нем при записи кислорода [5], а также в результате изменения влажности. Влияние последнего фактора на стабильность пропускающих голограмм, записанных в симметричной схеме, несущественно, а вклад первых двух в изменение n_1 синусоидальных решеток может быть описан выражением [6]

$$n_1(t) = (a + b \exp(-kt)) \exp\left(-\frac{4\pi^2 Dt}{\Lambda^2}\right), \quad (1)$$

где k — константа скорости химической реакции, D — коэффициент диффузии, Λ — пространственный период решетки.

Оценочные расчеты, проведенные исходя из спектров поглощения продуктов темновых химических трансформаций антрацена и его фотооксида, показывают, что b/a не превышает 0.7. В то же время, как следует из (1), диффузионные процессы могут привести к полной деградации голограммы. Скорость этого процесса возрастает с уменьшением Λ . Поэтому цель настоящей работы — исследование скорости диффузионной деградации голограмм и поиск возможности ее подавления.

Коэффициент диффузии может быть определен из экспериментальных кинетик дифракционной эффективности голограмм с различными пространственными перспективами

$$D = \frac{1}{4\pi^2} \left(\Lambda_2^2 \left(\frac{\partial \ln n_1}{\partial t} \right)_{\Lambda_2} - \Lambda_1^2 \left(\frac{\partial \ln n_1}{\partial t} \right)_{\Lambda_1} \right).$$

В наших экспериментах исследовалась стабильность голограмм с пространственными частотами 270 и 2200 мм^{-1} ($\Lambda_1 = 3.7 \text{ мкм}$, $\Lambda_2 = 0.45 \text{ мкм}$), записанных в попутных пучках в сим-

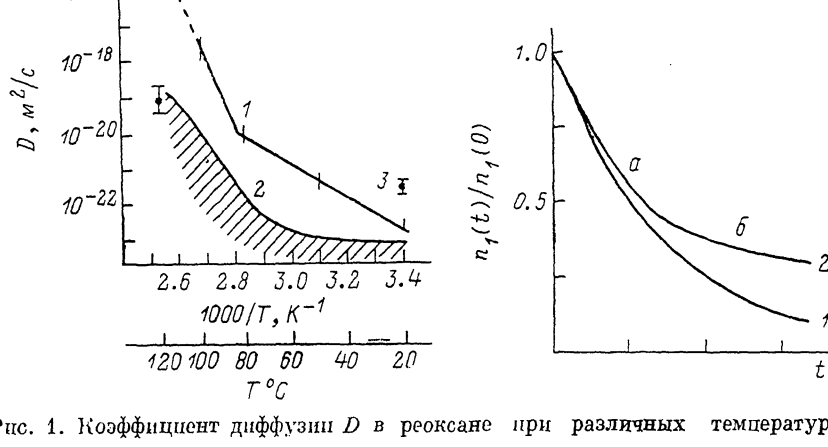


Рис. 1. Коэффициент диффузии D в реоксане при различных температурах.

1 — блочный реоксан, содержащий низкомолекулярный (не присоединенный к полимеру) антрацен;
2 — реоксан с антраценом, химически связанным с полимером, полученный методом полива пленки;

3 — пленочный реоксан с низкомолекулярным антраценом.

Рис. 2. Кинетика уменьшения амплитуды модуляции показателя преломления в голограмме с пространственной частотой 2200 мм^{-1} при 80 °C.

1 — блочный реоксан с низкомолекулярным антраценом; 2 — блочный реоксан с антраценом, присоединенный до полимеризации к макромолекуле; a — быстрый участок, обусловленный диффузией антрацена, оторвавшегося от макромолекулы при полимеризации; b — медленный участок.

метрической схеме. В результате установлено, что для стандартных блочных образцов реоксана D экспоненциально растет при уменьшении обратной температуры (рис. 1, кривая 1), причем в этой зависимости наблюдается излом около 80 °C. Такая особенность, видимо, связана с увеличением подвижности макромолекул полимерной матрицы при приближении к температуре стекловидного состояния. Отметим, что и при более низких температурах диффузия приводит к деградации голограмм за конечное время. Так, n_1 решетки с пространственной частотой 2000 мм^{-1} уменьшится за счет диффузии в e раз за 7 лет при 20 °C и за 47 суток при 60 °C.

Радикальный путь замедления диффузии в полимере — присоединение диффузанта к макромолекуле (для ориентировочной оценки коэффициента диффузии макромолекулы в твердом полимере могут служить полученные из измерения вязкости данные для полистирола $10^{-31} \text{ м}^2/\text{с}$ при 20 °C [7], что на 8—9 порядков меньше D антрацена и его фотооксида в реоксане ($3 \pm 1 \cdot 10^{-23} \text{ м}^2/\text{с}$ [8]).

Мы предприняли попытку замены низкомолекулярного антрацена в стандартном полимере реоксан на заранее синтезированный антраценсодержащий полимер (т. е. полимер с химически присоединенными группами антраценовой структуры [8, 9]). Однако исследование стабильности голограмм, записанных на полученных таким образом образцах, показало, что вначале n_1 уменьшается практически с той же скоростью, что и на стандартных образцах (рис. 2, участок a кривой 2). Затем происходит заметное изменение скорости деградации голограммы (участок b кривой 2). По-видимому, сложная кинетика деструкции свя-

зана с тем, что в процессе термической полимеризации (обычный способ изготовления реоксана) происходит отрыв от полимера части антраценовых групп (около половины от общего количества), которая и обуславливает начальную стадию деградации голограммы. Некоторое повышение стабильности решетки при больших временах вызвано отсутствием подвижности ковалентно присоединенного антрацена, сохранившегося в процессе полимеризации.

С целью повышения сохраняемости ковалентно присоединенного антрацена в образцах реоксана при их синтезе использован путь полива светочувствительного слоя из раствора, содержащего полимер-пленкообразователь с химически присоединенными антраценовыми группами и краситель-сенсибилизатор. Испытание изготовленных таким образом образцов показало, что диффузионная термодеструкция голограмм при температурах ниже 60–80 °C практически полностью отсутствует. Коэффициенты диффузии не превышают погрешности измерений, показанной на рис. 1 заштрихованной областью 2. Достоверно отличное от нуля значение D получено лишь при 120 °C, что существенно выше возможных температур эксплуатации полимерных голографических элементов. Диффузия при 120 °C (это выше температуры стеклования ПММА) может быть объяснена как сегментальным движением макромолекул с присоединенными к ним антраценовыми группами, так и отрывом этих групп под воздействием высокой температуры (подобно тому, что происходит в блочном материале при полимеризации). В качестве примера отметим, что время уменьшения n_1 в e раз вследствие диффузии составит не менее 5 лет для голограммы с пространственной частотой 2000 мм^{-1} (при температуре 60 °C).

Изготовление реоксана методом полива пленок перспективно для получения образцов толщиной в десятки—сотни микрометров. Заметим, что D в пленке, содержащей низкомолекулярный антрацен, на порядок выше, чем в блочном материале ($(5 \pm 1) \cdot 10^{-22} \text{ м}^2/\text{с}$, точка 3 на рис. 1) и проблема стабилизации голограмм наиболее остра для пленочного реоксана.

Таким образом, реализация принципа ковалентного присоединения антраценовых структур к макромолекулам позволяет практически полностью подавить диффузионную термодеструкцию голограмм на реоксане. В то же время при изготовлении материала методом термической полимеризации следует иметь в виду возможность отрыва части антраценовых структур от полимерных цепей.

Авторы глубоко признательны В. И. Суханову за плодотворное обсуждение результатов работы.

Литература

- [1] Лашков Г. И., Суханов В. И. // Опт. и спектр. 1978. Т. 44. Вып. 5. С. 1008–1015.
- [2] Лашков Г. И. // Несеребряные фотографические процессы / Под ред. А. А. Картужанского. Л., 1984. С. 130–146.
- [3] Суханов В. И., Ащегулов Ю. В., Петников А. Е. // Письма в ЖТФ. 1984. Т. 10. Вып. 15. С. 925–928.
- [4] Сандер Е. А., Суханов В. И., Шайдин С. А. // Оптическая голография / Под ред. Ю. Н. Денисюка. Л., 1983. С. 77–89.
- [5] Ащегулов Ю. В., Петников А. Е., Суханов В. И. // Письма в ЖТФ. 1985. Т. 11. Вып. 19. С. 1175–1177.
- [6] Вениаминов А. В., Лашков Г. И., Ратнер О. Б. и др. // Опт. и спектр. 1986. Т. 60. Вып. 1. С. 142–147.
- [7] Бреслер С. Е., Казбеков Э. Н., Фомичев В. Н. и др. // ФТТ. 1963. Т. 5. Вып. 2. С. 675–682.
- [8] Шелехов Н. С., Краковяк М. Г., Кленин С. И. // Высокомолекуляр. соединения. 1977. Т. 19А. № 7. С. 1586–1592.
- [9] Лашков Г. И., Козел С. П., Шацева Л. С., Шелехов Н. С. // Опт. и спектр. 1981. Т. 50. Вып. 5. С. 883–887.

Поступило в Редакцию
9 июня 1987 г.